

Beam Energy Measurement at J-PARC LINAC

Susumu Sato^{A)}, ZenEi Igarashi^{B)}, Tetsuo Tomisawa^{A)}, Akihiko Miura^{A)}, Akira Ueno^{A)}, Hiroyuki Sako^{A)}, Takatoshi Morishita^{A)}, Yasuhiro Kondo^{A)}, Guobao Shen^{A)}, Hisashi Akikawa^{B)}, Masanori Ikegami^{B)}, Takeshi Toyama^{B)}, Seishu Lee^{B)},

^{A)} JAEA, J-PARC center

2-4 Shirakata-Shirane, Tokai, Ibaraki, 319-1195

^{B)} KEK, J-PARC center

1-1 Oho, Tsukuba, Ibaraki, 305-0801

Abstract (英語)

In the J-PARC LINAC, beam energy is measured with the Fast Current Monitor (FCT), which uses a Finemet core. Simplest way is to measure the time-of-flight, which is calculated from measured phase, for a pair of FCTs. Other way of measurement of beam energy is from dispersion measurement in the RCS (Rapid Cycle Synchrotron), or from circulation frequency of RCS. In this paper, a study for comparisons is reported. Also, trial to measure energy gain by single FCT is reported.

J-PARC リニアックにおけるビームエネルギー測定

1. はじめに

J-PARCリニアック[1, 2]においては、ファインメットコアを用いたFast Current Transformer (FCT)を用いてビームの位相を測定し、ペアとなるFCT間の位相差から、飛行時間(TOF)を求めて、ビームのエネルギーを測定している[3]。この時用いる、飛行距離については、FCTの位置を専用の測量台座を設けて、測定してある(誤差は0.3[mm]程度)。

今回の報告は、ビームのエネルギーを、飛行距離の異なる複数のTOF組合せ間で比較をする。

また、リニアックの後段に続く、シンクロトロン(RCS)に入射した時、ビーム捕獲用のRF源を用いて測定されている周回周波数を用いて、(周回軌道の長さを仮定した時の)導出したビームエネルギーと、比較を試みる。更に、リニアックからRCSへの入射エネルギーを変化させた時に生じる、RCSにおける(dispersion項による) Closed Orbit Distortion (COD)の変化量を用いて、ビームエネルギーの変化量を推測し、リニアック側でFCTを用いて測定したビームエネルギーの変化量との対応関係について考察を行う。

2. 複数のFCTペアにおけるエネルギー測定

複数のFCTペア(TOFの組合せ)でのエネルギー測定を行った。運動エネルギーKは以下の式によつ

て導出される。

$$K[MeV] = m_0 \cdot (\gamma - 1), \quad \left[\gamma = 1/\sqrt{1 - \beta^2}, \beta = L/(\Delta t \cdot c) \right]$$

$$\Delta t[sec] = \Delta\theta / \left\{ 360 \times (324 \times 10^6) \right\}$$

$$\Delta\theta[deg] = \theta_{FCT1} - \theta_{FCT2} \pm (n \times 360)$$

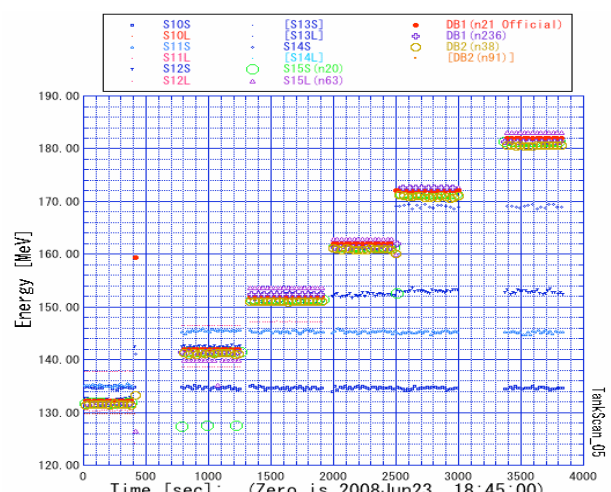


図 1: SDTLの後段5段で順次加速を追加した時の、複数のTOF組合せによるビームエネルギーの測定

ここで θ_{FCT1} , θ_{FCT2} は、それぞれFCTで検出さ

¹ E-mail: susumu.sato@j-parc.jp

れた位相(正確には、ケーブルやヘッドの位相差を較正した後の位相)である。 M_0 は負水素イオンの質量であり、324[MHz]は空洞の加速周波数である(FCTは[324MHz]の位相を検波測定している)。

表1: リニアック後半部にあるFCTペア
(上流から下流に向けてリストしてある)

FCTペアの通称 (nの典型値)	FCTペアの 位置	FCTペアの 距離 L [m]
S10.S (n=2)	S10とS11の間	0.707
S11.S (n=1)	S11とS12の間	0.734
S12.S (n=2)	S12とS13の間	0.759
S14.S (n=2)	S14とS15の間	0.805
S15.S (n=20)	S15とDB1の間	10.512
S15.L (n=63)	S15とDB1の間	32.332
DB1.S (n=21)	DB1とDB2の間	10.165
DB1.L (n=236)	DB1とDB2の間	118.624
DB2.S (n=38)	DB2と0度 dump 間	19.500
DB2.L (n=91)	(DB2後) arc部後、RCS前	45.574

リニアックSDTL加速空洞の内、後段の5段のSDTL加速を順次追加していく測定した。この時用いた、FCTペアの通称と、FCT間の距離は表1である。図1はその測定値である。

各TOFの組合せには、位相検出器のもつ360度の不確定性が有るが、距離の短いTOF(n=20程度)を用いることにより、より距離の長いTOF(最長n=236程度)でのTOFの値を確定する事ができる。例えば典型的な値として、DB1の後のTOFの例を採ると、“DB1.S”ペアL=10.165[m])では、nの値として、”1小さい隣の整数(n=20)”を採ると、エネルギーは26MeV程度離れた(大きな)値となってしまう(ため、非現実的である)。また、“DB1.L”ペア(L=118.624 [m])では、nとして”1小さい隣の整数(n=235)”を採ると、エネルギー値は2MeV程度離れた(大きな)値となってしまう。図2に示す分布は、これらのFCTペア、“DB1.S”ペア、“DB1.L”ペア、におけるエネルギー測定値分布図である。ガウス分布を仮定した時、分布の幅(sigma)は、それぞれ30keV程度、3keV程度である。

(n=20)”を採ると、エネルギーは26MeV程度離れた(大きな)値となってしまう(ため、非現実的である)。また、“DB1.L”ペア(L=118.624 [m])では、nとして”1小さい隣の整数(n=235)”を採ると、エネルギー値は2MeV程度離れた(大きな)値となってしまう。図2に示す分布は、これらのFCTペア、“DB1.S”ペア、“DB1.L”ペア、におけるエネルギー測定値分布図である。ガウス分布を仮定した時、分布の幅(sigma)は、それぞれ30keV程度、3keV程度である。

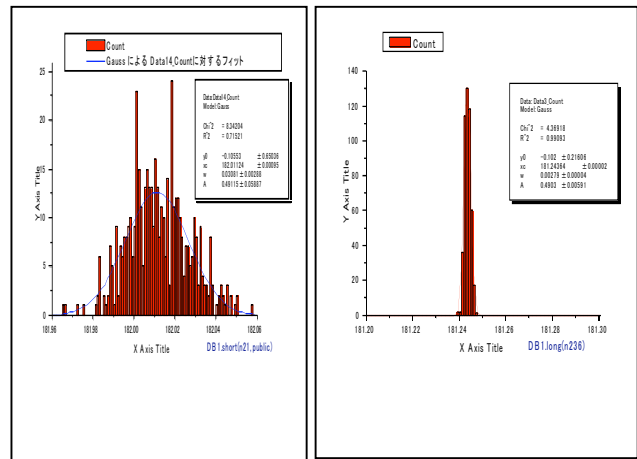


図2 エネルギー測定値分布図。左図は、“DB1.S”ペア ($L = 10.165\text{[m]}$, $n=21$)。右図は、“DB1.L”ペア ($L = 118.624\text{[m]}$, $n=236$)である。

3. RCSのから求めたエネルギーとの比較。

Run17 (2008年6月を中心としたRun) の最初において、RCSのRFにおける周回周波数を、周回軌道長(348.333m)を仮定して、エネルギーを計算すると、181.3MeV相当であった。この時のLINACにおいて、(DB1.Sを用いて選定したnを用いた)DB1.Lにおけるエネルギー測定値は181.8MeVであった。

Run17の最後においては、Debuncher2(DB2)の位相を変化させることによりビームのエネルギーを1MeV弱変化させ、DB2.LペアのFCTを用い、エネルギー変化を測定した。この測定と同時に、RCSで(dispersionのある)arc部の6つのBPMを用い、Closed OrbitのDistortion(ΔCOD)を測定した。

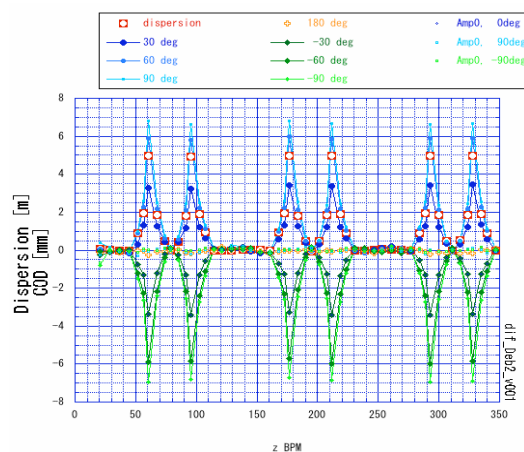


図3: DB2の位相を変化させた時の ΔCOD の値。
比較の為、dispersion(η)の値も示した。
横軸は、RCS軌道上のz座標[m]。

事前に求められている、各BPM位置でのdispersion係数(η)を用いて、ビーム運動量の振幅をもとめた。

$$\frac{\Delta p}{p} \propto \frac{\Delta COD}{\eta}$$

図3は、測定された ΔCOD を η とともに示したものである。求めた運動量の変化量を、DB2の位相の関数として示したもののが、図4である。Sinusoidal関数でfitした振幅は、 $\Delta p/p = 0.1365 [\%]$ であり、運動エネルギーの変化量に換算すると(運動量の中心値は、先の周回周波数からの値181.3MeVを仮定すると)、 $\Delta K = 456 \pm 15 [keV]$ が求まる。エラーの15keVはdispersion(η)の誤差によっている。

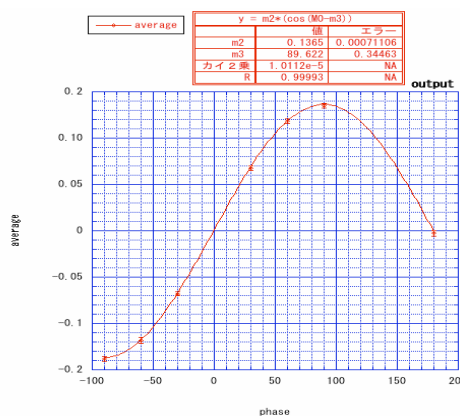


図4: DB2の位相を変化させた時の運動量の変化率。縦軸は $\Delta p/p$ である。

FCTによるエネルギー測定の結果は、図5に示した。FCTペアで測定した運動エネルギーの変化量(上図)をsinusoidal関数でfitすると 420 ± 11 (fitting error) [keV]であった。又、単体のFCT(下左図と下右図。縦軸にはoffsetの可能性有)で測定した場合は、fitで得られた振幅は、 448 ± 8 (fitting error) [keV] (FCT50上流側)、及び 437 ± 3 (fitting error) [keV] (FCT63下流側)である。下流のFCTほど、又FCT間の差分を採ると値が小さくなる傾向がみられる。この2つの傾向は、BPM(の4電極信号の和信号)を用いてエネルギー変化量を(FCTと同様にして324MHz検波して)測定した場合にも、見られている(BPM52-BPM63の差分では 388 ± 16 (fitting error) [keV]、BPM52(上流側)単体では 440 ± 5 (fitting error)、BPM63(下流側)単体では 429 ± 8 (fitting error)である)。

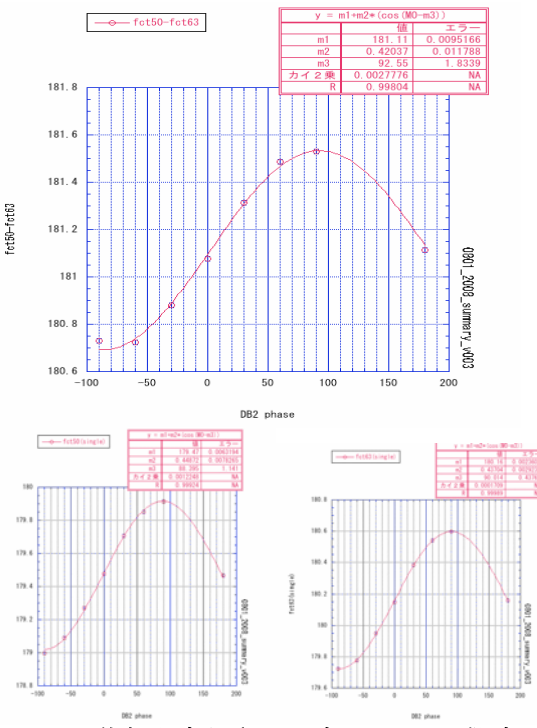


図5:DB2の位相を変化させた時の、FCTで測定した運動エネルギーの変化。上図は、DB2.Lペア (FCT50-FCT63)を用いた測定。下図は、FCT単体(左図FCT50、左図FCT63)で測定した運動エネルギーの変化[但し縦軸には、offsetの可能性有]。

4.まとめ

J-PARCリニアックではファインメットコアを用いたFCTを用いてビーム位相を測定し、ペアとなるFCT間の位相差からビームのエネルギーを測定した。飛行距離の異なる複数のTOF組合せを用いる事で、測定精度を上げる事が出来る。

リニアック続くRCSに入射した時、周回周波数から導出したビームエネルギーとの比較を行った。又、リニアックからRCSへの入射エネルギーを変化させ、RCSのdispersion項によるCODの変化量を用いて、ビームエネルギーの変化量を測定した。リニアック側でFCTを用いて測定した値と比較をすると、値が小さく見られる傾向がみられている。

参考文献

- [1] J-PARC Design Report(JAERI-Tech 2003-044, KEK Report 2002-13)
- [2] S. Sato, et al. Installation of Beam Monitor Sensors in the LINAC Section of J-PARC. EPAC'06pp.1151-1153 (2006).
- [3] Z. Igarashi, et al. 「統合計画陽子リニアックMEBT1用ビーム・モニターとそのビーム・テスト」 第27回リニアック技術研究会proceedings (2002年)